



Abb. 4: Die Ebene eines Speicherringes ist im zeitlichen Mittel vollständig mit Strahlung gefüllt. Die momentane keulenförmige Abstrahlung eines einzelnen Elektrons ist angedeutet.

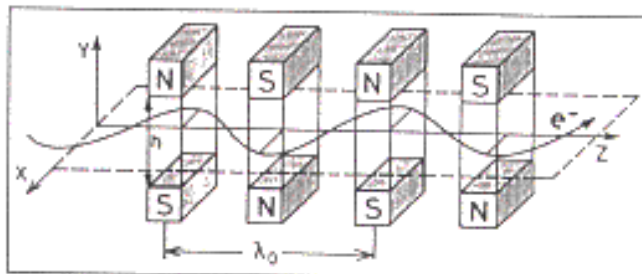
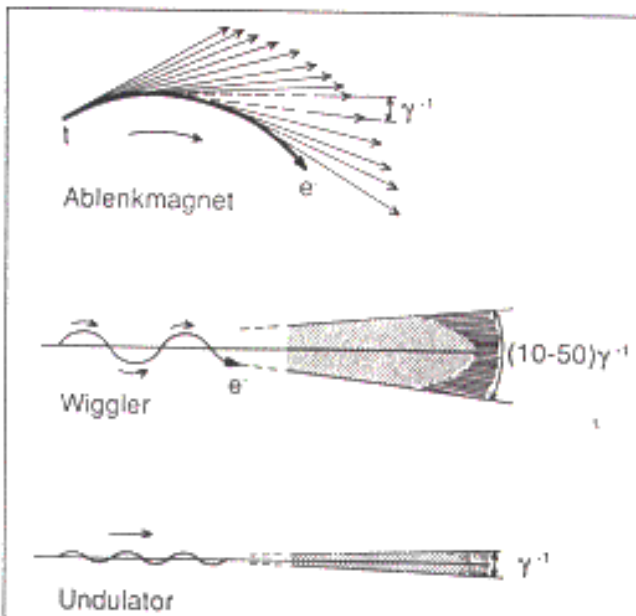


Abb. 17: Aufbau eines Wigglers. Wenn die Elektronen mit annähernd Lichtgeschwindigkeit durch das periodische Magnetfeld fliegen, beschreiben sie eine sinusförmige Bahn.



$$\gamma^* = \frac{Ee}{m_e c^2}$$

Abb. 18: Vergleich der Abstrahlung von einem Ablenkagnet, von einem Wigglert und einem Undulator. γ^{-1} ist ein relativistischer Faktor, der von der Energie der Elektronen abhängt. Für DORIS beträgt er nur etwa 0,0001. Dies entspricht einer Divergenz des Strahlungskegels von nur etwa 0,1 mrad. Die scharfe Bündelung der Strahlung beim Undulator hat starke Interferenzeffekte zur Folge.

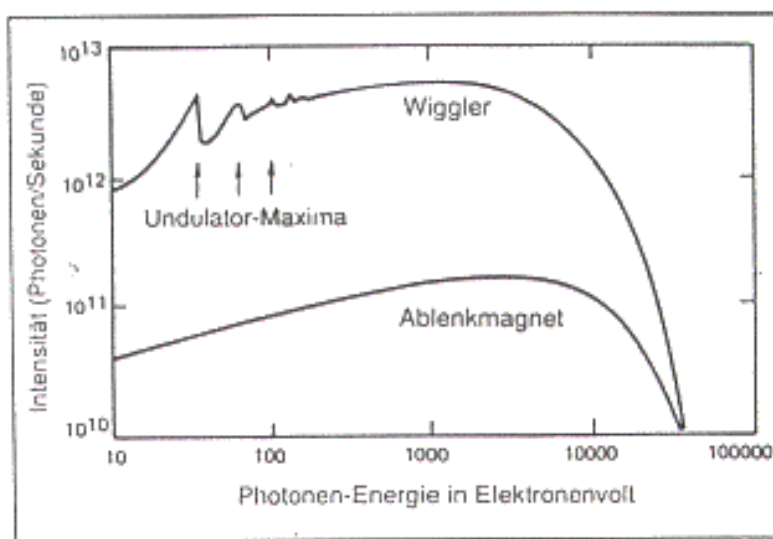


Abb. 19: Die Intensität der Strahlung von dem 32-Pol-Wiggler bei HASYLAB ist um vieles höher als die eines Ablenkagnetens. Bei niedrigen Energien arbeitet der Wigglert als Undulator und erzeugt bei bestimmten Photonenenergien sogar noch höhere Intensitäten.

Mössbauer-spektroszkópia szinkrotronsugárzással

Szinkrotronsugárzás: gyorsuló töltések által keltett intenzív elektromágneses sugárzás e^- - és e^+ -trájeregyűrük eltérítő mágneseinél és az ú.n. „insertion device”-öknel (wiggerek, undulátorok).

4-5 GeV-es részecskék esetén a sugárzás levágási energiaja kb. 15 keV. Probléma: hogyan szürjük ki a 13 nagyságrenddel keskenyebb (^{57}Fe) Mössbauer-rezonanciat a többi foton közül?

Si-egykristály-monokromátorok: előmonokromátor, nagyfelbontású (nested channel cut) monokromátorok. Mg a legjobb felbontás 4 meV körül van: ez már elég.

A szinkrotronsugárzás tulajdonságai:

- nagy intenzitássűrűség
- kis nyilábdivergencia
- polarizált
- pulzált

A pulzált sugárzás **egyidejűleg** képes az összes, hiperfinom-felhasad alnivaló gerjesztésre, melyek ezután **kohärensen** bonthanak \Rightarrow interferencia (quantum-beatok).

A szinkrotron-Mössbauer-spektroszkópia az energia-domén helyett az **idő-doménben** dolgozik. A hiperfinom kölcsönhatás a quantum-beat merkezet alapján értékelhető ki.

A nagyfelbontású monokromátort kissé elhangolva a rezonanciától, letapogathatjuk a fotonspektrumot is. Ez az **inelasztikus foton-mótrás** (Alp, 1994. október)

Néhány nagyobb szinkrotron adatai

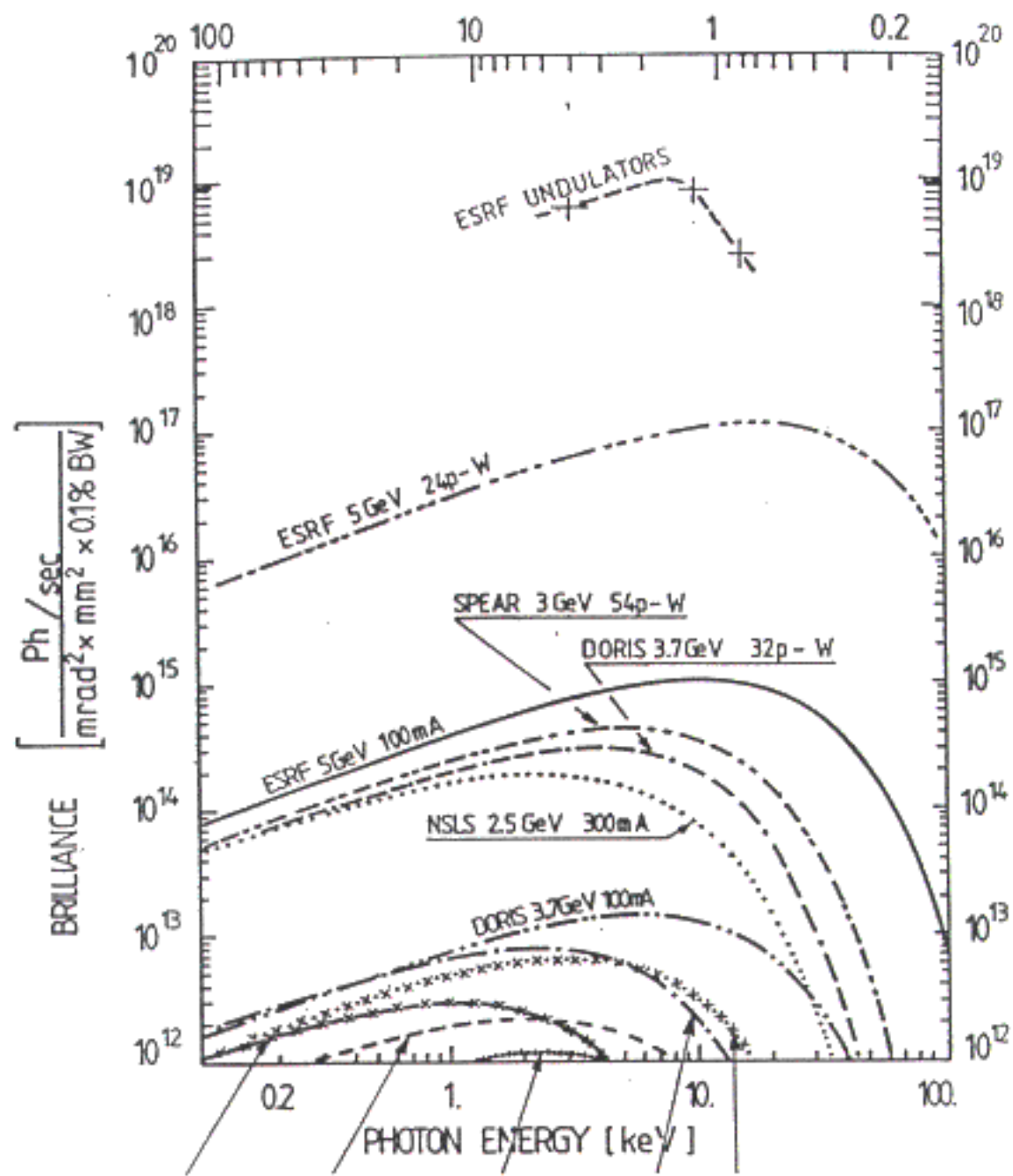
ország	város	tárológyűrű	energia (GeV)	generáció
Japán	Kansai	Spring-B *	8.0	3
U.S.A.	Argonne	APS *	7.0	3
Franciaország	Grenoble	ESRF	6.0	3
U.S.A.	Ithaca	CHESS	5.0	1
Németország	Hamburg	DORIS III	4.5	1 ⇒ 2/3
Németország	Bonn	SYLI	0.5 – 3.5	2
U.S.A.	Stanford	SSRL	3.0	2 ⇒ 3
U.S.A.	Brookhaven	NSLS (x-ray)	2.5	2
Japán	Kansai	TRISTAN	2.5	2
Svájc	Villigen	SLS *	1.5 – 2.1	3
Anglia	Daresbury	SRS	2.0	3
Olaszország	Trieszt	ELETTRA	1.0 – 2.0	3
U.S.A.	Berkeley	ALS	1.0 – 1.9	3
Svédország	Lund	MAX II *	1.5	3
U.S.A.	Baton Rouge	CAMD	1.2 – 1.5	
Taiwan	Hsinchu	SRRC	1.3	3
U.S.A.	Brookhaven	NSLS (VUV)	0.8	2
U.S.A.	Stoughton	S.R.C.	0.8	2
U.S.A.	Gaithersburg	SURF II	0.3	2

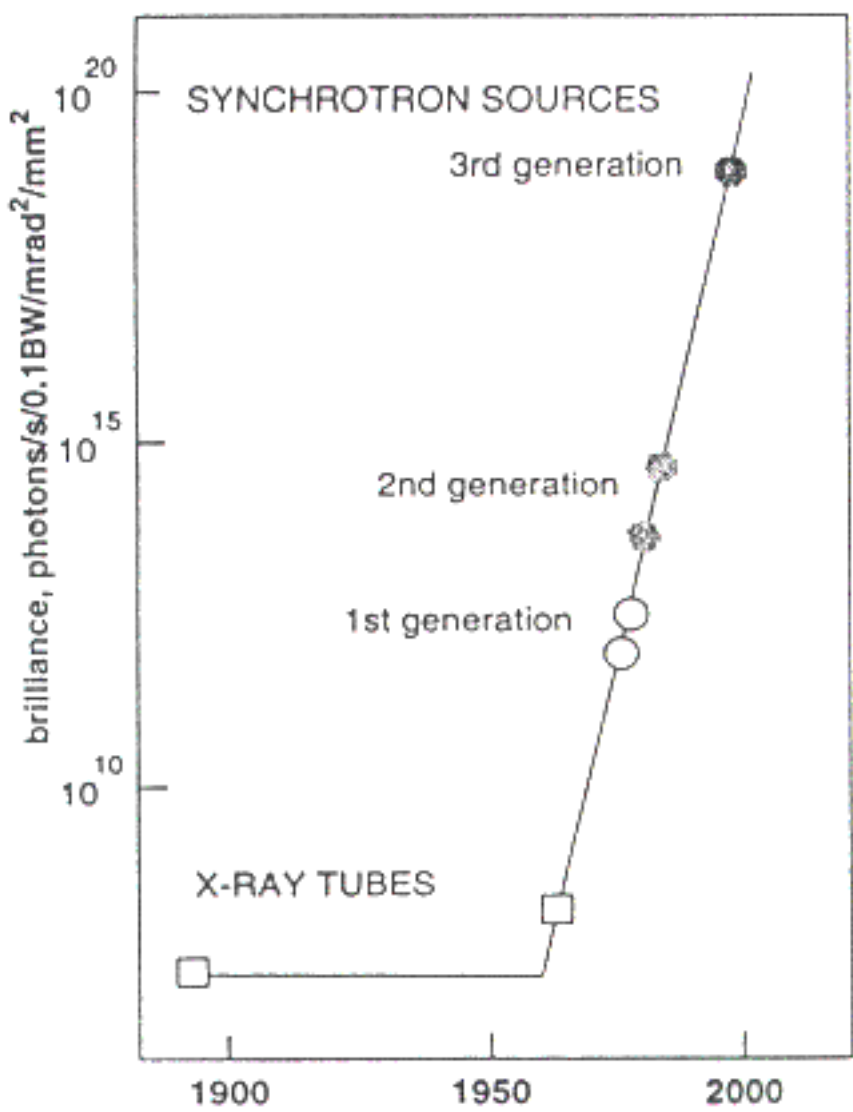
* épülő szinkrotron

- 1. generáció: részecskefizikai gyorsító, parazita üzemmód**
- 2. generáció: szinkrotronsugárzásra tervezett gyorsító, sugárzás csak az eltérítő mágneseknél**
- 3. generáció: szinkrotronsugárzásra tervezett gyorsító, hosszú egyenes szakaszokkal (wiggerek, undulátorok)**

Néhány fontosabb, szinkrotronoknál művelhető vizsgálati módszer:

- röntgen-diffrakció, röntgen-szórás
- felületi diffrakció
- optikai spektroszkópia
- makromolekula-szerkezetmeghatározás
- nukleáris rezonanciaszórás
- kvázielasztikus foton-szórás
- inelasztikus foton-szórás
- mágneses foton-szórás
- röntgen-fluoreszcencia analízis
- röntgen apszorpcióos él analízis (XANES)
- EXAFS





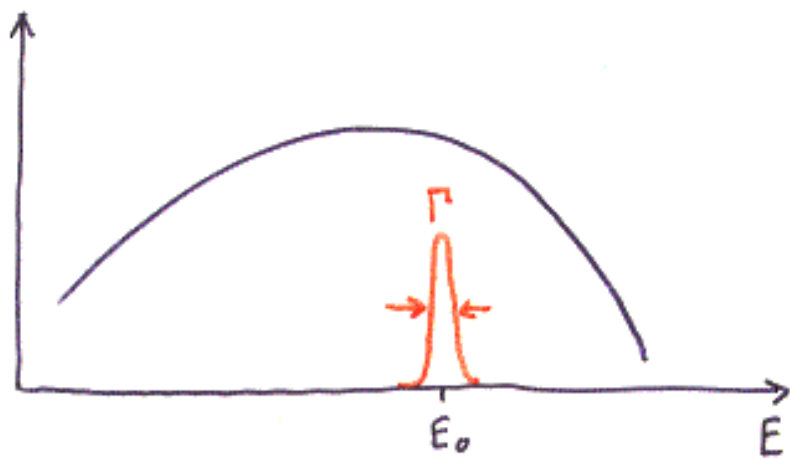
A szinkrotron-sugárzás tulajdonságai

- intenzív folytonos spektrum az infravörös-röntgen tartományban
- kis nyalábdivergencia (a gyűrű sikjára merőlegesen $0.1 - 1 \text{ mrad}$)
- nagy fényerő-sürűség (brilliance)
- Lineárisan poláros sugárzás a gyűrű sikjában; elliptikus polarizáció alattá és felette
- pulzált sugárzás:
 - impulzushossz $\sim 10^{-10} \text{ s}$
 - periódusidő $\sim 10^{-6} \text{ s}$ (single bunch mode)
 $\sim 10^{-8} - 10^{-7} \text{ s}$ (multibunch mode)

Teljes sugárzási teljesítmény: $P \sim E^4$

Pl.: DORIS III. 4.5 GeV 100 mA : $P \approx 0.5 \text{ MW}$

A magrezonancia -szörás kiszürésének kísérleti problémái



$$\frac{\Gamma}{E_0} \approx 10^{-12}$$

Hogyan lehet a nukleárisan szort fotonokat elválasztani a

- direkt nyalából és az elektronokon szort fotonuktól?
- monokromatizálás egykristály-monokromátorokkal
- időbeli szétválasztás:
 - direkt nyaláb
 - elektronikus szörás
 - nukleáris szörás

} prompt
kecsleltetett ($\tau \approx 10^{-7}$ s)
- elektronikusan tiltott reflexiók használata:
 - AF szuperszerkezet
 - izotóp-szuperszerkezet

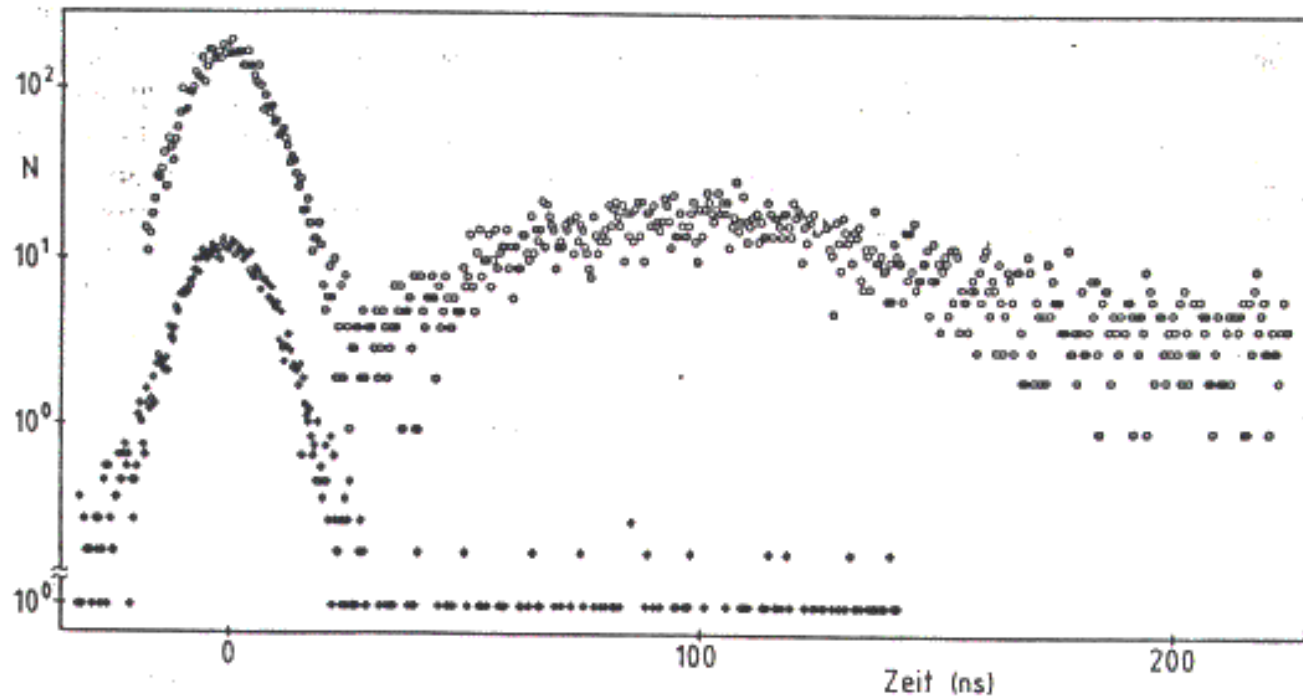


Abb. 1: Zeitlich verzögter Zerfall des nuklearen Exzitons. Die verzögerten Ereignisse erreichen ein Maximum bei ca. 100 ns. Darin dokumentiert sich der kollektive Charakter des Zerfalls. Für zwei aufeinanderfolgende Streuungen an einzelnen Kernen erwartet man das Maximum bei 280 ns. Zum Vergleich ist eine Messung außerhalb der Resonanz mit angegeben (untere Kurve).

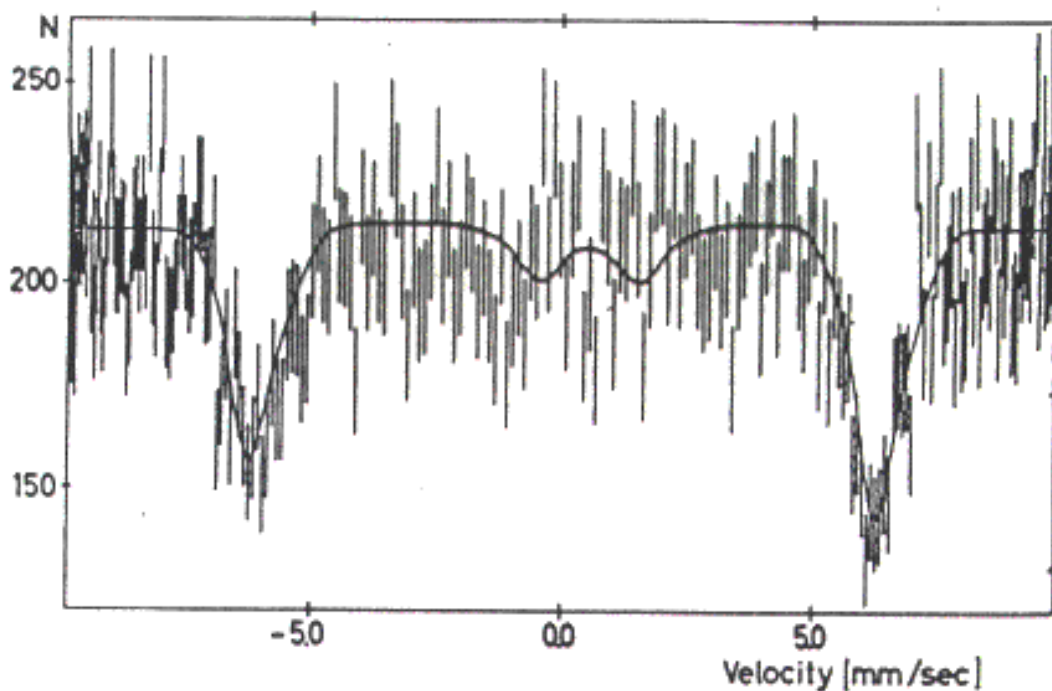
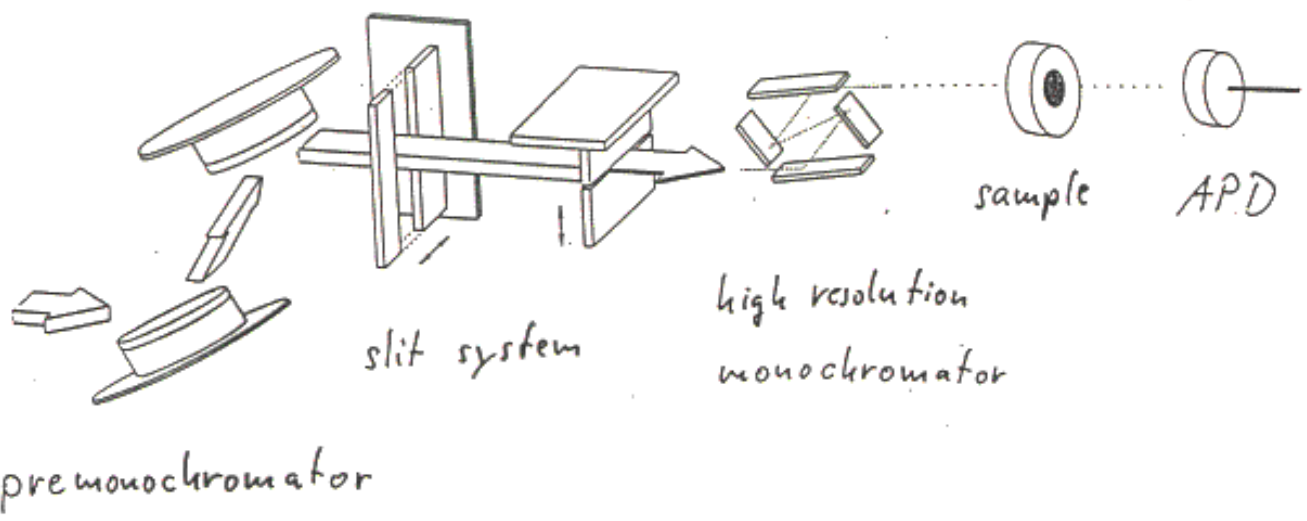


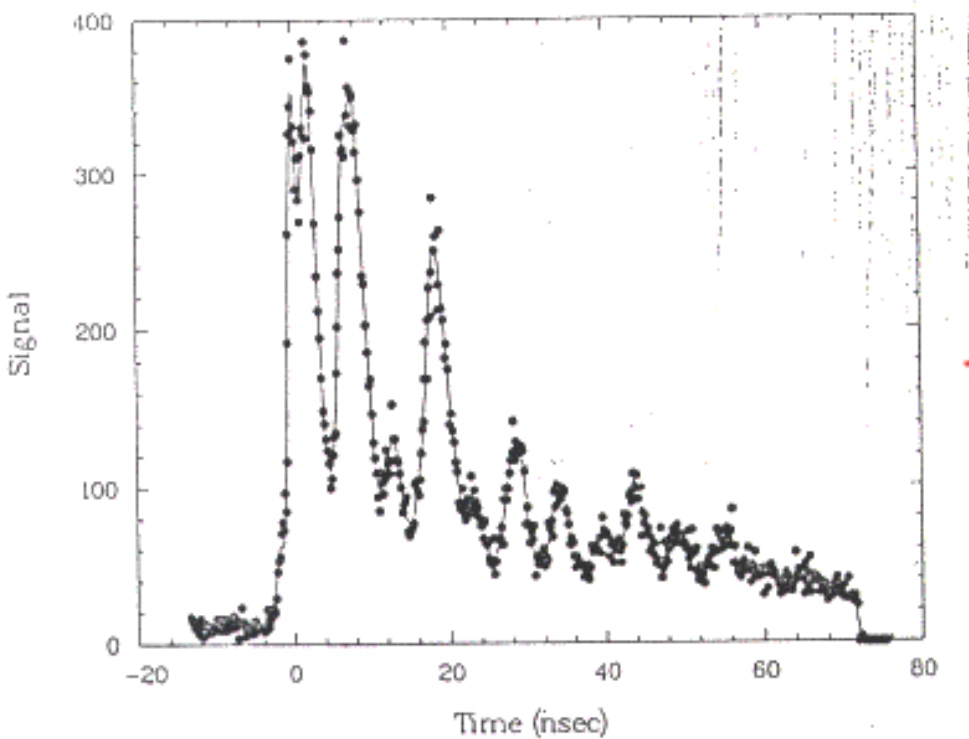
Fig. 4 Mössbauer spectrum of the monochromatized beam analyzed with a stainless-steel absorber. The solid line is the predicted result. Only the normalization constant and the effect are adjusted.

YIG (Itrium-vas-granát) (200)

Gerdau et al., 1985

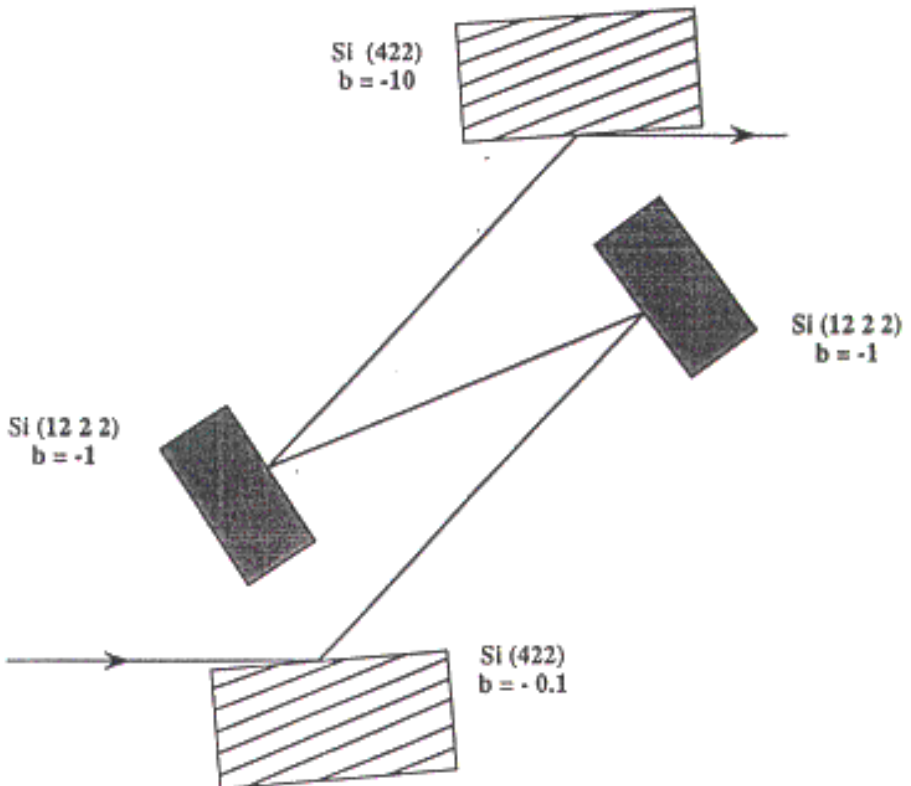


$APD = \underline{A} \underline{v} \underline{l} \underline{a} \underline{n} \underline{c} h \underline{o} \underline{c} \underline{h} \underline{e}$



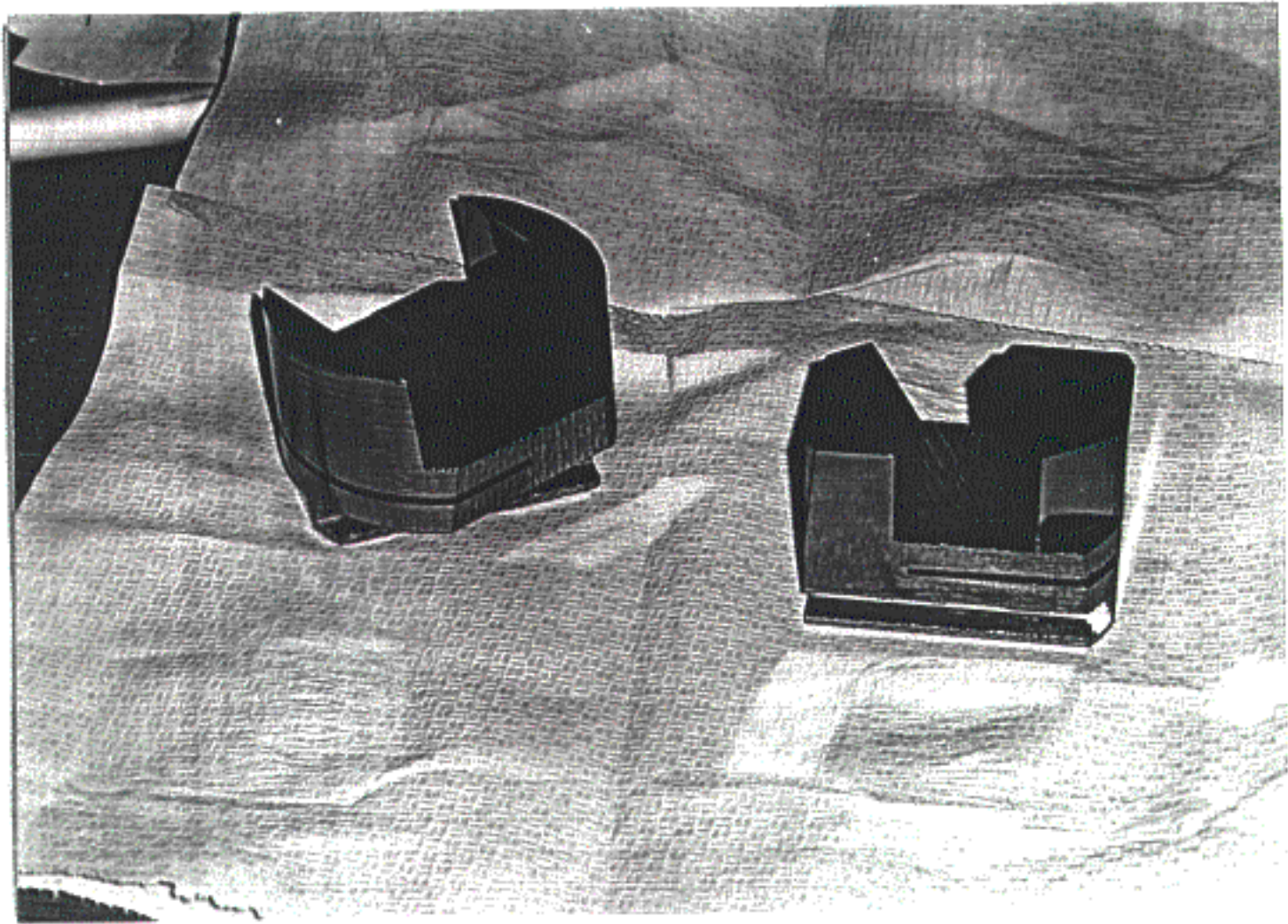
Faigel et al.
1988

FIG. 1. The observed time evolution of the "pure-nuclear" (777) reflection from ^{57}Fe -enriched hematite. The continuous curve is derived from the data by Fourier smoothing.



Four crystal arrangement for high-energy resolution and high "throughput"

Design for 14.4 keV with two Si (422) crystals (entrance and exit) which are asymmetric-cut crystals in order to gain the angular acceptance.
The inner crystals, two Si (12 2 2) with a Bragg angle of 77.5° , are in a dispersive setting with the Si (422) to get a good energy resolution.



Europium resonance

